

200632067A

厚生労働科学研究費補助金

こころの健康科学研究事業

筋萎縮性側索硬化症に対する特異的治療法の開発

平成18年度 総括研究報告書

主任研究者 郭 伸

平成19（2007）年3月

目 次

I. 総括研究報告

筋萎縮性側索硬化症に対する特異治療法の開発に関する研究 ----- 1
郭 伸

II. 研究成果の刊行に関する一覧表 ----- 4

III. 研究成果の刊行物・別刷 ----- 7

厚生労働科学研究費補助金（こころの健康科学研究事業）

（総括）研究報告書

筋萎縮性側索硬化症に対する特異的治療法の開発に関する研究

(主任) 研究者 郭 伸 東京大学助教授

東京大学大学院医学系研究科脳神経医学専攻 神経内科学助教授

[研究趣旨]

孤発性ALSの運動ニューロンで疾患特異的、部位選択性分子変化として我々が見出したGluR2 Q/R 部位のRNA編集異常は、神経細胞死を引き起こす一次原因であり、この分子異常を正常化することにより神経細胞死が抑制できることが報告されている。GluR2 Q/R 部位のRNA編集は、特異的RNA編集酵素adenosine deaminase acting on RNA type2 (ADAR2) により触媒されることよりADAR2活性が低下していると考えられ、ADAR2活性の賦活によりGluR2 Q/R 部位のRNA編集が正常化し、孤発性ALSの神経細胞死を抑制する効果が期待される。本年度の研究において、ADAR2活性賦活作用をもつ物質を選び出すためのシステムを、培養細胞、モデルマウスで開発した。

分担研究者氏名・所属機関名及び所属機関における職名

相澤仁志 旭川医科大学 講師

A. 研究目的

我々は孤発性ALS脊髄運動ニューロンにおいてグルタミン酸受容体であるAMPA受容体のGluR2サブユニットmRNAにおけるRNA編集が低下していること、これがALS運動ニューロンに疾患特異的かつ細胞選択性的な変化であることを報告した(1, 2)。このGluR2 Q/R部位は、RNA編集酵素ADAR2 (adenosine deaminase acting on RNA type 2) により特異的に編集され、ADAR2のノックアウト動物は幼弱期に死亡する(3)。孤発性ALSの脊髄前角組織では、ADAR2mRNA発現レベルが低下しており、上記のことから、ADAR2活性低下がGluR2 Q/R 部位のRNA編集異常を引き起こし、AMPA受容体のCa²⁺透過性を亢進させることを通じて神経細胞死を引き起こしていると考えられる。したがって、ADAR2活性を上げることができれば運動ニューロン死を阻止し、孤発性ALSを治療することが可能であると考えられる。本研究では、孤発性ALSの特異治療法の開発のため、ADAR2活性賦活を測定するためのin vitroおよびin vivoシステムを立ち上げる。

B. 研究方法

in vitroにおけるスクリーニングシステム開発のため、ヒト由来HeLa細胞、HEK293細胞、グリオーマ細胞、神経芽細胞などを用いて、ADAR2の活性変化と共に編集率が変わる基質mRNAを安定して発現するか如何かを検討した。これらの培養細胞より総RNAを抽出し、RT-PCRと特異的制限酵素処理により、ADAR2基質mRNA編集部位の編集率を検討した。GluR2 Q/R 部位のRNA編集率を特異的に測定するため、GluR2遺伝子の編集部位を含むミニ人工遺伝子をHeLa細胞に遺伝子導入したセルラインを構築した。

In vivo系のスクリーニングシステムとしては、我々が開発したADAR2遺伝子コンディショナルノックアウトマウスにおいて、ADAR2活性異常による細胞死を検討した。

(倫理面への配慮)

遺伝子操作に関しては、第二種使用等拡散防止措置における承認を得、全ての遺伝子操作は本学DNA組換え実験指針に従い行った。また動物実験については、東京大学医学部動物委員会の承認を得、実験方法については同動物実験指針に従い動物愛護面に十分配慮した。

C. 研究結果及び考察

GluR2 Q/R 部位を始めとしたADAR2の基質となる各種編集部位の編集率、編集部位を持つRNAの発現

量は、細胞種により異なっていた。この中で、ヒト神経芽細胞では、安定してGluR2 mRNA を発現し、しかもそのQ/R 部位におけるRNA編集率は概ね40–60%であった。ミニ人工遺伝子を導入したHela 細胞の発現する転写産物のRNA編集率は30–50%であり、ADAR2 mRNA のノックダウンにより0%に低下することが確認された。したがって、以上2系列の培養細胞系は、ADAR2活性を測定する系として適当であることが示された。

二系統のADAR2^{flox/+}/VACHT-Cre マウスは、ADAR2を運動ニューロンで発現しない。これらのマウスは進行性の運動ニューロン死を呈し、いずれもGluR2 Q/R 部位の編集率低下を示した。しがたって、ADAR2の活性低下は神経細胞死を引き起こすこと、孤発性ALS運動ニューロンに見られるGluR2 Q/R 部位のRNA編集異常は、ADAR2活性低下であることが示され、ADAR2活性の賦活により孤発性ALSの治療が可能になると考えられる。

D. 結論

ADAR2活性低下が神経細胞死を引き起こすことを明らかにし、孤発性ALS運動ニューロンで低下しているADAR2活性を評価するシステムを開発した。

(文献)

1. Kawahara, Y et al., *Nature* **427**, 801 (2004).
2. Kawahara, Y et al., *Neurosci Res* **54**, 11–15 (2006).
3. Higuchi, M et al., *Nature* **406**, 78–81 (2000).

E. 健康危険情報

なし

F. 研究発表

1. 論文発表

- Kwak S, Weiss JH: Calcium permeable AMPA channel in neurodegenerative disease and ischemia. *Current Opinion Neurobiology* **16**:281–287, 2006
- Kawahara Y, Sun H, Ito K, Hideyama T, Aoki M, Sobue G, Tsuji S, Kwak S: Underediting of GluR2 mRNA, a neuronal death-causing molecular change in sporadic ALS, does not occur in motor neurons in SBMA patients or SOD1 transgenic rats. *Neurosci Res* **54**:11–15, 2006

- Sun H, Kawahara Y, Ito K, Kanazawa I, Kwak S: Slow and selective death of spinal motor neurons in vivo by intrathecal infusion of kainic acid: implications for AMPA receptor-mediated excitotoxicity in ALS. *J Neurochem* **98**:782–791, 2006.
- Hideyama T, Momose T, Shimizu J, Tsuji S, Kwak S: A PET study on the role of nigral lesions in parkinsonism in patients with ALS. *Arch Neurol* **63**:1719–1722, 2006.

他16編

2. 学会発表

- 澤田 潤, 相澤仁志, 油川陽子, 榎本 雪, 菊池健次郎、郭 伸。培養細胞での薬物負荷によるグルタミン酸受容体遺伝子の編集率変化に関する検討。第47回日本神経学会総会、東京、2006年5月11–13日
- 斎藤 司, 相澤仁志, 榎本 雪, 油川陽子, 澤田 潤, 菊池健次郎。急性期脳卒中患者の発症から受診までの時間に及ぼす要因の検討。第47回日本神経学会総会、東京、2006年5月11–13日
- 日出山拓人、郭 伸：運動ニューロン病における RNA 編集異常の検討、第 47 回日本神経学会総会、東京、2006 年 5 月 11–13 日
- 井原涼子、清水潤、郭 伸、辻省次：下位運動ニューロン徵候が明らかでない運動ニューロン病の臨床的特徴、第 47 回日本神経学会総会、東京、2006 年 5 月 11–13 日
- 澤田潤、相澤仁志、郭 伸：培養細胞での薬物負荷によるグルタミン酸受容体遺伝子の編集率変化に関する検討、第47回日本神経学会総会、東京、2006年5月11–13日
- 相澤仁志、木村 隆、箭原 修、菊池健次郎。筋強直性ジストロフィーの嗅球病変。日本神経病理学会総会、岡山、2006年5月24–26日
- 澤田潤 相澤仁志 斎藤司 油川陽子 榎本(中谷)雪 菊池健次郎、木村隆 箭原修。Spinocerebellar ataxia type 1の3剖検例。日本神経病理学会総会、岡山、2006年5月24–26日
- 相澤仁志、澤田 潤、油川陽子、郭 伸、河原行郎、日出山拓人、伊藤杏子。孤発性筋萎縮性側索硬化症の病態。第33回日本脳科学会、旭川、2006年6月2–3日
- 榎本(中谷)雪、相澤仁志、菊池健次郎。パーキンソン病の振戦に対するレボドパの内服効果の検討。第48回日本老年医学会学術集会、金沢、2006年6月7–9日

- 郭 伸：ALS の運動ニューロン死の分子メカニズム、旭川神経疾患勉強会 MGH, 旭川, 2006 年 6 月 9 日
- 郭 伸：教育講演「多系統萎縮症」、第 4 回神經難病とケアを考える会、東京星陵会館、2006 年 6 月 24 日
- 相澤仁志、油川陽子、箭原 修、菊池健次郎。カベルゴリンによるrestless legs syndromeの治療の試み。第24回神經治療学会総会、横浜、2006年7月13-14日
- 郭 伸：孤發性 ALS の病因- glutamate 受容體と神經細胞死、平成 18 年度『筋萎縮性側索硬化症の画期的診断・治療法に関する研究』班ワークショップ『ALS の克服に向けて』東京 砂防会館、祖父江元班長、2006 年 7 月 28 日
- Pan W-D, Ohashi K, Yamamoto Y, Kwak S: Fractal analyses of parkinsonism by wearable accelerometer. *The 10th International Congress of Parkinson's Disease and Movement Disorders*, Kyoto, 2006年10月28日-11月2日
- 郭 伸、山本義春、Struzik, Zbigniew R、相馬りか、大橋恭子：電気的前庭神經刺激による神經疾患の治療、シンポジウムⅡ「神經疾患の電磁気刺激による診断と治療」第 65 回日本めまい平衡医学会総会・学術講演会、東京学術総合センター・学士会館、加我君孝会長、2006 年 11 月 16-17 日
- Hideyama T, Kawahara Y, Ito K, Nishimoto Y, Tsuji S, Kwak S: RNA editing in sporadic ALS and other motor neuron diseases. *The 17th International Symposium on MND/ALS*. Yokohama, 2006年 11月30日-12月2日
- Kwak S: ADAR2 underediting and death of motor neurons in ALS. *the Gordon Research Conference on RNA Editing*, Ventura, California, 2007年1月15-19日
- 只見知恵子、木村大輔、伊藤杏子、山下雄也、鈴木岳之、郭 伸：グリオーマ細胞におけるAMP A受容体サブユニットG1 u R2 のRNA編集率の検討、第80回薬理学会年会, 2007年3月 14-16日
- 齋藤 司、相澤仁志、油川陽子、澤田 潤、牧田圭弘、菊池健次郎、齋藤仁十、安栄良悟、國本雅之、程塚 明。当院における脳卒中の診療実績とその検討。第32回日本脳卒中学会総会、福岡、2007年3月22-23日

G. 知的財産権の出願・登録状況

1. 特許取得：なし
2. 実用新案登録：なし
3. その他：なし

別紙4

研究成果の刊行に関する一覧表

書籍

著者氏名	論文タイトル 名	書籍全体の 編集者名	書籍名	出版社名	出版地	出版年	ページ
日出山拓人、 郭 伸	髓液細胞数・蛋白・糖	中井利昭	検査値のみかた改訂3版	中外医学社	東京	2006	790-796
相澤 仁志	中毒性疾患	楠進	臨床病態学 1、脳・神経 系疾患	ヌーヴェ ルヒロカ ワ	東京	2006	211-221

雑誌

発表者氏名	論文タイトル名	発表誌名	巻号	ページ	出版年
Kawahara Y, Sun H, Ito K, Hideyama T, Aoki M, Sobue G, Tsuji S, <u>Kwak S</u>	Underediting of GluR2 mRNA, a neuronal death-causing molecular change in sporadic ALS, does not occur in motor neurons in SBMA patients or SOD1 transgenic rats.	<i>Neurosci Res</i>	54	11-14	2006
Sun H, Kawahara Y, Ito K, Kanazawa I, <u>Kwak S</u>	Slow and selective death of spinal motor neurons <i>in vivo</i> by intrathecal infusion of kainic acid: implications for AMPA receptor-mediated excitotoxicity <i>in ALS</i>	<i>J Neurochem</i>	98	782-791	2006
Hideyama T, Momose T, Shimizu J, Tsuji S, <u>Kwak S</u>	A PET study on the role of nigral lesions in parkinsonism in patients with ALS.	<i>Arch Neurol</i>	63	1719-1722	2006

Kwak S, Weiss JH	Calcium permeable AMPA channel in neurodegenerative disease and ischemia.	<i>Curr Opin Neurobiol</i>	16	281–287	2006
Struzik ZR, Hayano J, Soma R, <u>Kwak S</u> , Yamamoto Y	Aging of complex heart rate dynamics.	<i>IEEE Transaction on Biomedical Engineering</i>	53	89–94	2006
Pan W, Ohashi K, Yamamoto <u>Kwak S</u>	Power-law temporal autocorrelation of activity reflects severity of parkinsonism	<i>Mov Disord</i>		印刷中	
Mizuno Y, Amari M, Takatama M, <u>Aizawa H</u> , Mihara B, Okamoto K.	Transferrin localizes in Bunina bodies in amyotrophic lateral sclerosis.	<i>Acta Neuropathologica (Berl)</i>	112	597–603	2006
Kobayashi H, Ngato T, Sato K, Aoki N, Kimura S, Tanaka Y, <u>Aizawa H</u> , Tateno M, Celis E.	In vitro peptide immunization of target tax protein human T-cell leukemia virus type 1-specific CD4+ helper T lymphocytes.	<i>Clin Cancer Res</i>	12 (12)	3814–3822	2006
<u>Aizawa H</u> , Aburakawa Y, Suzuki Y, Enomoto H, Makita Y, Kikuchi K, Kimura T, Yahara O.	Treatment of Asian restless legs syndrome patients with cabergoline. – An open clinical preliminary trial–,	<i>Intern Med</i>	45	453–455	2006
<u>Aizawa H</u> , Makita Y, Sumitomo K, Aburakawa Y, Katayama T, Nakatani-Enomoto S, Suzuki Y, Fujiwara K, Enomoto H, Kuroda K, Kimura T, Yahara O, Koyama S, Maruyama J, Nakamura M, Hasebe N, Kikuchi K.	Edaravone diminishes free radicals from circulating neutrophils in patients with ischemic brain attack.	<i>Intern Med</i>	45	1–4	2006

Mizuno Y, Amari M, Takatama M, <u>Aizawa H</u> , Mihara B, Okamoto K	Immunoreactivities of p62, an ubiquitin-binding protein, in the spinal anterior horn cells of patients with amyotrophic lateral sclerosis.	<i>J Neurol Sci</i>	249	13-18	2006
西本祥仁、日出山拓人、 河原行郎、 <u>郭 伸</u>	AMPA受容体サブユニットGluR2 のRNA編集とALSにおける神經細胞死	Clinical Neuroscience	24	222-225	2006
<u>郭 伸</u>	ALSの運動ニューロン死とグルタミン酸受容体の分子変化	神經研究の進歩	50	902-911	2006
<u>郭 伸</u>	家族性 ALS の特徴	医事新報	4296	87-88	2006
相澤仁志、榎本雪	帯状疱疹痛に対するガバペンチンの使用	神經内科	66	210	2007

224. 脳液細胞数・蛋白・糖

基準値

基準値	
脳液細胞数	5個以下/mm ³
蛋白	15~45 mg/dl
糖	50~75 mg/dl 血糖値の1/2~2/3
外観	無色透明

察する。採取項目に応じて3~10 ml採取し、終了後は60分間以上の腹臥位での安静および当日は充分な水分摂取にて脳液の漏出による低脳液圧症候群の発症に留意する。禁忌となるのは頭蓋内圧亢進症状により脳ヘルニアをきたす危険性がある場合、穿刺部付近の痔瘡や感染を認める場合、出血傾向、患者の協力が得られない場合である。

■細胞数：Fuchs-Rosenthal計算盤法

脳液の最初の部分を用いて、採取後速やかに行う(1時間以内)。長く放置すると試験管壁に細胞が付着したり壊れたりするので正確な数、形態の判断が困難になる。細胞の種類をみると通常、遠赤外May-Grunwald-Giemsa染色をし、单核球、多核白血球別に数える。

■蛋白：ピロガロールレッド法

1) 感染などの炎症により血液脳閂門(blood-brain barrier)の透過性亢進のこと、眼底検査にてうつ血乳頭のないこと、出血傾向のないこと、局所麻酔アルギーがないことを確認する。患者の同意を得た後に側臥位で頸部前屈の上、knee-chest positionをとり、両腸骨棘の最上端を結んだJacoby線(L4の棘突起)を目印にL4/5あるいはL3/4から局所麻酔下にて、穿刺を行う。穿刺針は21G(場合により23G)、細い方が穿刺後頭痛の頻度が減るが採取時間がかかる)、圧棒はディスクボーザブルとし、すべて清潔操作で行う。まざ、初圧を測定するが、このとき、頸部前屈を解き、下肢も屈曲位を緩めた姿位で患者に深呼吸をしてもらつて圧棒内の脳液が上下すること、そのとき一定値に落ちることを持って初圧とする。採取は自然滴下法で行い、採取時には脳液圧の初圧、Queckenstedt test、終圧測定、脳液の肉眼的性状を観

察する。採取項目に応じて3~10 ml採取し、終了後は60分間以上の腹臥位での安静および当日は充分な水分摂取にて脳液の漏出による低脳液圧症候群の発症に留意する。禁忌となるのは頭蓋内圧亢進症状により脳ヘルニアをきたす危険性がある場合、穿刺部付近の痔瘡や感染を認める場合、出血傾向、患者の協力が得られない場合である。

■細胞数：脳液細胞増多、蛋白增多、糖低下

1) 脳出血などの中枢神経系組織の破壊性病変に伴い、くも膜下腔への出血により血液中の蛋白が流入する場合、

3) 脱髄や腫瘍などで中枢神経内で反応性蛋白、主として免疫グロブリン合成が増加した場合、

4) 脳液の流れ、あるいは吸収が阻害される圧迫性病変、くも膜下腔の閉塞のよう

なものが存在する場合があげられる。

■糖：脳液糖は血糖値に依存し、約1.5~4時間前の血糖値を反映する。そのため、4時間は絶食の状態で脳液を採取し、同時に血糖を測定することが望ましい。脳液糖は脳液内の細胞や細菌、酵素の解糖作用で消費される。

どういう検査か

脳脊髄液は、側脳室、第3脳室の脈絡叢で1日約500 ml产生され、脳・脊髄のくも膜下腔脳室を満たし、総量は100~150 mlであるため1日3~4回入れ替わる計算となる。傍矢状静脈洞に集まり、くも膜顆粒のフィルターを通じて靜脈洞に入り、体循環に吸収される。機械的衝撃からの保護、浸透圧平衡の維持、代謝された老廃物の除去、脳の内部環境の恒常性の維持、免疫反応などの役目をはたしている。そのため、脳液は中枢神経組織、脳脊髄神経、脳膜膜の状態に何らかの障害が起これば、その状態を反映し、診断に重要な手がかりを与えてくれる。

■細胞数：病原微生物が無菌状態の脳液内に直接あるいは血行性に侵入すると血中から白血球が動員される。脳出血や白血病、脳腫瘍の浸潤でも細胞は増加する。

■蛋白：濃度勾配があり、腰椎部で濃く脳室に行くほど薄くなる。脳液蛋白の増加する機序には、

異常値を呈する疾患(病態)

■細胞数：脳液細胞增多、蛋白增多、糖低下の場合は問題となり、鑑別が必要な疾患を表1にあげた。また脳液圧上昇は脳圧亢進を伴う疾患に多くみられるが、圧のみの変化として、上昇する場合、良性頭蓋内圧亢進、硬膜動静脉瘤、低下する場合、低脳液圧症候群などが留意である。

■糖：脳液糖は血糖値に依存し、約1.5~4時間前の血糖値を反映する。そのため、4時間は絶食の状態で脳液を採取し、同時に血糖を測定することが望ましい。脳液糖は脳液内の細胞や細菌、酵素の解糖作用で消費される。

表1のような異常値が出了した場合には、脳液細胞增多の有無、蛋白增多の有無、糖低下の有無といった組み合わせ、および以下のようないくつかの検査を合せて総合的に病態を判断する。脳膜炎では表2のような脳液所見となり、治療方針を立てる際に抗菌剤の選択に重要である。脳膜炎は急性疾患であり、細胞数増加で脳膜炎と診断後、エンビリカルに治療を始めることが一般的である。しかし、耐性菌の発生や医療費高騰を抑えるためには、直ちにグラム染色により起炎菌を同定することが必須である。脳液をスピンドルンし、グラム染色で検鏡する。検鏡ができない施設では、ラテックス凝集反応などを利用したキット(脳液中

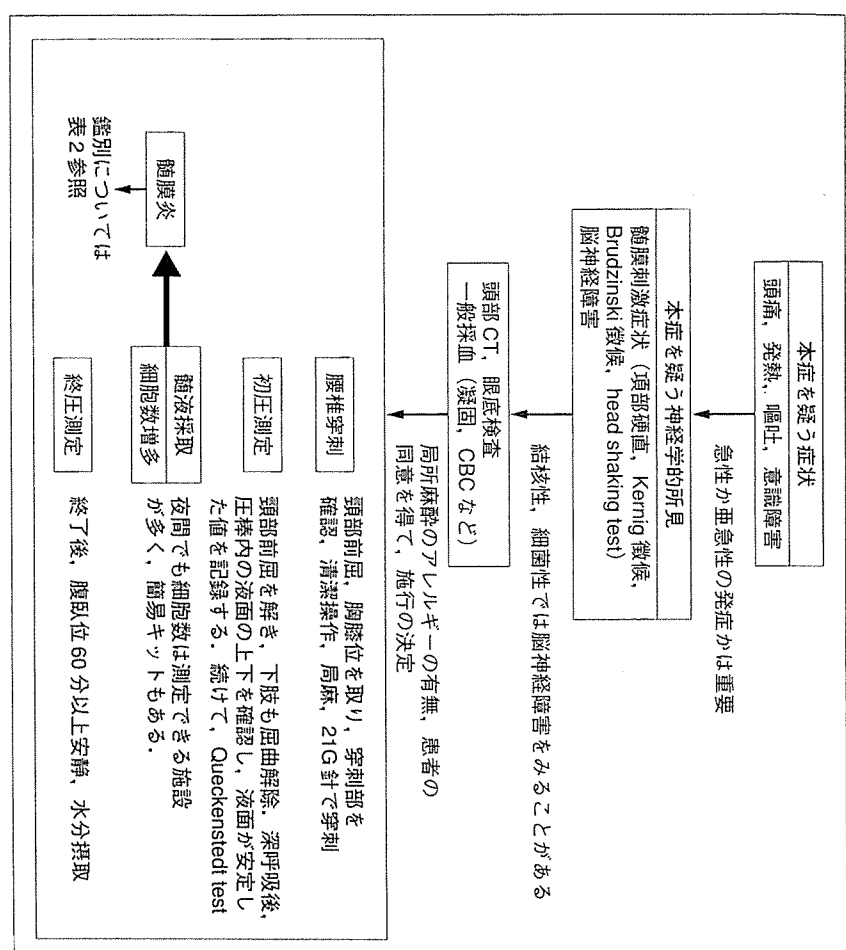


図 1 頭膜炎の診断プロセス

肺炎球菌抗原、ヘモフィルスインフルエンザ抗原、B群溶連菌抗原、頭膜炎菌抗原、クリプトコッカス抗原など)も市販されているので積極的に利用されたい。また、PCRがウイルス(単純ヘルペスウイルス-1・2、水痘-帯状疱疹ウイルス、サイトメガロウイルス、Epstein-Barrウイルス、JCウイルス、日本脳炎ウイルス、mumps virusなど)、結核菌、トキソプラズマ感染症の診断に有効である。また、トピックとしては、Alzheimer病におけるタウ蛋白の増加やCreutzfeldt-Jakob病(CJD)の14-3-3蛋白の検出、膠原病、と

急性か亜急性の発症かは重要な頭痛、発熱、嘔吐、意識障害を呈するが、traumatic tap (xanthochromia)を呈するが、traumatic tap では透明である。xanthochromiaの鑑別としては、髄液蛋白量が150 mg/dl以上の場合は、髄液蛋白量が吸光度測定などにより真のxanthochromiaと鑑別できる。

ヘルペス脳炎では壞死性病変を引き起こす

ことがあり、血性髄液、xanthochromiaが認められることがある。診断は臨床経過から明らかであることが多いが、意識障害で臨床経過がわからない場合にはこの髄液所見以外に

脳波や頭部CT、MRI(FLAIR画像)による前頭側頭葉病変の確認が有用である。

なお、traumatic tapの場合には細胞数の正確な測定ができないが、以下の簡易式でおよその本来の白血球細胞数が計算できる。

本來の髄液中白血球数 = 髄液中全白血球数 - 末梢血中白血球数 × 髄液中赤血球数 ÷ 末梢血中赤血球数

またはヘマトクリットを利用したキャビラ

リ遠心による赤血球算定より簡便に可能である。

検査値ピットフォール

①血液混入：SAH, traumatic tap

②髄液漏

③蛋白

一般的に細胞数が増加すると蛋白も増加す

るが、細胞数が増加せずに蛋白が増加するこ

とを蛋白細胞解離といい、GBS、Fisher症候群、CIDPでもみられ、診断の一助となる。

近いほどtraumatic tapの可能性が高く、採取した髄液が血栓化することが多い。さらに髄液を遠心分離すると、その上清は出血後7~8時間経過していれば透明橙黄色調(xanthochromia)を呈するが、traumatic tapでは透明である。xanthochromiaの鑑別としては、髄液蛋白量が150 mg/dl以上の場合は、髄液蛋白量が吸光度測定などにより真のxanthochromiaと鑑別できる。

初期にはウイルス性頭膜炎でも好中球優位のことがあり、また抗生素を投与されていた場合には細菌性頭膜炎でもリンパ球優位のことがあり、問診が重要である。リンパ球優位な場合はウイルス性頭膜炎が多いが、リストア感染でもリンパ球優位な髄液所見が認められる。リストア感染は、人畜共通感染症であり、インフルエンザと同時期にみられることが多いのでインフルエンザ流行期ではインフルエンザとの鑑別が必要で、免疫不全患者、高齢者、妊娠の場合は注意が必要がある。臨床症状、諸検査からは鑑別が困難であるが、アンピシリンが効果を示すためエンピリカルに投与することも検討する。

細菌性頭膜炎や結核性頭膜炎が疑われた場

合には、治療が遅れると予後不良であるため、

年齢、随伴症状などの臨床経過とグラム染色

に基づいて速やかに治療を開始する。とくに

結核性頭膜炎は診断が困難なことが少なくないため、否定できない場合には原則的に抗結核剤を投与する。同時に並行で治療効果、髄液

の再検、PCR、細菌のキット、培養で適切な感染原因の細菌、ウイルスを決定し、常に治療方針の適正化をはかる。

細胞数增多があるが培養でも起炎菌の同定

ができない場合、多くは無菌性頭膜炎であり、ほとんどがself-limitingに症状が改善し、培

養やPCR、抗体価などで同定できないことが多

い。一方で、起炎菌が同定できず、症状が改善しない場合、HIV感染、寄生性頭膜炎や寄

虫感染、膠原病である可能性も考慮した検

査計画を立てる必要がある。髄液検査では、

May-Grünwald-Giemsa染色の際に花冠状

の核をした異型白血球がみられることがあ

り、HAM(HTLV-I associated myopathy)

やリンパ腫の診断に役立つ。中枢神経悪性リ

ンバ腫での可溶性 IL-2 レセプター、IL-10、LDH、 β_2 -ミクログロブリンの増加などが有用である。また、腫瘍細胞の検索には Papanicolaou 染色、腫瘍マーカー (CEA、AFP、S-100 蛋白など) が有用である。また、海外渡航歴のある場合、その地域の流行感染症の状況をチェックする必要があり、国内では経験しないヒストプラスマ感染症やアメバ、寄生虫感染症を考える必要がある。また、神經 Behcet 病での IL-6 上昇も有用である。

⑤培養

脳膜炎菌は低温で死滅するので 37°C で保存するか速やかに検査する。細胞数、細胞診、糖も速やかに行わないと正確な結果が得られない。

⑥パンイック値 警戒値

① 頸液圧高値 (> 200 mmH₂O)

脳液圧高値の場合には腰椎穿刺で脳液を採取することで脳ヘルニアを起こして死亡する場合があるため、必ず実施前に頸部 CT で頭蓋内占拠性病変のチェック、眼底でうつ血乳頭を確認することが重要である。施行中に高値であった場合には、それ以上脳液を採取せずに圧槽内の脳液を検査用とし、速やかに腰椎穿刺を中止し、その後のバイタルサインを二度にチェックするようにする。頭蓋内圧亢進症状が脳ヘルニアを起こすリスクが高い場合には抗浮腫療法としてグリセオール、ステロイド投与、低体温、バルビツレート、過換気、必要に応じて外科的減圧術を検討する。

このような病態が疑われず、脳液圧高値の場合には緊張や息こらえをしていたり、不自然な体位になっていることがあるのでこれらを正常に戻すようにすると

シーパ腫での可溶性 IL-2 レセプター、IL-10、LDH、 β_2 -ミクログロブリンの増加などが有用である。また、腫瘍細胞の検索には Papanicolaou 染色、腫瘍マーカー (CEA、AFP、S-100 蛋白など) が有用である。また、海外渡航歴のある場合、その地域の流行感染症の状況をチェックする必要があり、国内では経験しないヒストプラスマ感染症やアメバ、寄生虫感染症を考える必要がある。また、神經 Behcet 病での IL-6 上昇も有用である。

② 頸液白濁
細胞数が 1000 個/mm³以上のことが多く、細菌性脳膜炎が疑われる。とにかく迅速に適切な抗生素の投与を行う。

③ 血性脳液

前述したが、SAH が疑われる場合には、再破裂が起こらぬように不要な刺激を与えるように血圧管理を行いながら迅速に脳外科医に指示を仰ぐ。

④ 蛋白細胞解離

臨床経過で先行感染があり、数日の経過で下肢から始まる四肢の筋力低下、四肢腱反射低下があり、脳液蛋白細胞解離が認められる場合、GBS が疑われる。失調、眼球運動障害、腱反射低下があれば、この亜型の Fisher 症候群が疑われ、慢性的な経過で繰り返される症状であれば CIDP が疑われる。GBS では急性の経過で呼吸筋麻痺に至り人工呼吸器管理が必要になることもあり、経過が遅い場合、呼吸状態に異常がある場合（たとえば呼吸数の増加）、血圧の激しい変動、起立性低血圧といった自律神経症状をみると、血漿交換療法、大量マグロブリン療法を直ちに施行し、慎重に経過を観察する。

文献

- 1) 日出山拓人、他。日本内科学会誌第 94 卷。2005: p. 2552.
- 2) 宮地隆史、他。In: Medical Practice 編集委員会、編。臨床検査ガイド 2005-2006。初版。東京: 文光堂; 2005. p. 942.
- 3) 真重文子、In: 高久史郎、編。臨床検査データベース 2001-2002。初版。東京: 医学書院; 549.

<日出山拓人 郭 伸>

B₆などの多発因子欠乏による症候群といえる。

(3) 症状、診断

ペラグラの臨床徵候として、古典的な3Dの皮膚炎 (dermatitis), 下痢 (diarrhea), 認知症 (dementia) を挙げ、さらに末梢麻痺の場合には死亡 (death) が加わり、4D症候群として知られる。症候は緩徐で、食欲不振、下肢の能力、興味心、いらいらするなどを訴え、最初期には神経衰弱などのほかの疾患と誤されることも少なくない。精神がまず露出部に出現し、次第に末梢色調に変化し、一見だけどのときの皮膚のように見える。精神・神経症状は初期か進むと出現し、ペラグラ脳膜・ペラグラ神経病として知られる。一方、脊髄症候としては運動性対麻痺を認め、運動亢進、パビンスキーア反射陽性、ターリース、共動症、倒錯覚、位置覚異常がみられる。末梢神経障害の反射性腰痛、筋力低下の程度は軽く、脊髄障害により隠されてしまうこともある。これらの精神・神経症状は皮膚炎症の出現前に先行してみられる、こうした臨床的徵候に注意して臨床的診断ができる例が多いが、最終的にはナイアシンの定量が重要である。

(4) 治療

診断早期に300～500mgのナイアシンの投与を行う。重複例には1000～1500mgの大粒投与を用いる。また、ナイアシンのみならず、ほかのビタミンを総合的に補給することが大切である。ペラグラは早期診断、適切な治療により、劇的な改善が期待し得る疾患である。

3) ビタミンB₁₂欠乏症

ビタミンB₁₂欠乏症は血漿和神経系、胃腸などに症状を起す。大部分は胃切除後に発症する。このビタミンの吸収には内因子が必要であるが、遺伝性内因子欠損症は日本では稀である。神経症状としては、亜急性脊髓連合症 (subacute combined degeneration of spinal cord) が知られる。50～60歳代の初期障害の患者に発症する。足の異常感覚、次いで臀部拘縮感などを呈して感覚性運動失調をきたす。Romberg徵候が陽性となる。また、下肢筋力低下、表情神経麻痺、難歩行障害も合併する。末梢神経障害は刺繡感障害を呈する。精神症状として抑鬱に対する過敏性、パラノイア、昏迷、記憶障害を認めることが多い。

4) 球酸欠乏症

葉酸 (folic acid) はほうれん草やりんごなどに含まれ、核酸や核酸たんぱくの合成に関与している。成人男子の葉酸必要量は、50mgで、正常血清濃度は2.4～9.8ng/mlである。葉酸欠乏症は摂食障害、小脳萎縮形成やスルーカなどの小脳疾患による吸收障害、妊娠や甲状腺機能亢進症などの需要の増大、メトトレキセートなどの薬剤によって起こる。葉酸欠乏による巨赤芽球性貧血、舌炎、消化器症候はよく知られ、神経症状は稀とされてきた。後索障害を呈する計画障害、認知機能障害をきたす。葉酸はともに細胞分裂や成熟に不可欠なビタミンで、最近はアルツハイマー病との関係で重要性が増している。

葉酸欠乏の治療は、血清葉酸濃度が正常化するかをしながら5～15mg一日の葉酸を経口投与する。ビタミンE欠乏症

期間にわたる久遠状態で発症する。ビタミンE欠乏症は肝や消化管疾患による脂肪吸収障害、脂防過積荷害、α-トコフェロール (α -tocopherol) 転移などによつて生じることが知られている。脂防吸収障害には胆汁の分泌や胆汁分泌の低下による脂肪の消化障害があるものと、ビタミンEの吸収部位である空腸に器質的な障害がある場合がある。胆汁うつ滞をきたす先天性胆道症では、小腸内の胆汁濃度低下のための慢性のビタミンE吸收障害がみられる。葉酸性脳膜症では、先天的に腸外分沁能が障害され、ビタミンEの欠乏をともなう。また、小腸スブルー病、クローン病などで小腸を切除した例、悪性腫瘍で腹部に放射線療法を行った例や慢性的腰炎も吸収障害を呈する。脂防過積荷害は先天的にはアボ坦んばくBが欠損する無がり病などよく血症がおこる。ビタミンE欠乏症の神経症状としては、構音障害、震顫、浮脚知覚障害の後索性運動失調、腹反射消失、筋力低下、末梢神経障害がみられ、骨盤小脳変性症に類似した症候を呈し、アリード・ライヒ運動失調症と認識される可能性がある。

(1) 治療

酢酸トコフェロールを200～600mg/日経口投与し、血中濃度と臨床症状をみて改善がなければ、高用量、または100～200mg/日の静脈内投与を行う。

(2) 予後

ビタミンE欠乏症の一般的予後は、いかに早い段階で診断・治療が行われるかによって予後は大きく異なる。いずれにしても適切な診断と早期の治療開始は予後を大きく改善させる。後遺症が残る場合もあるが、治療によりかなりの改善が期待できる。

(3) 経過・合併症

治療により神経学的所見は一般的に改善が期待できるが、ビタミンE欠乏症のように単純の場合は死の転帰となる場合もあり得る。迅速な診断と適切な治療が最も重要である。

(4) 患者指導、ケアのポイント

ビタミンE欠乏をきたした患者の食生活や日常生活の問題点を明らかにし、その改善法を指導する。ビタミンEやB₁の欠乏症のように患者の加齢レベルの障害がある場合は、一般的の認知症患者と同様な看護上の注意を要する。

[参考文献]

1. 水野美樹編、西澤正義 (2000) 神経内科ハンドブック, p.617-p.621, 中外医学社。

II その他の疾患

1 中毒性疾患

(1) 慎要
外界から消化器、呼吸器、皮膚、注射などの経路を介して体内に吸収された毒物により、生体機能が障害される状態を中毒といいう。機器系は中毒によって障害されやすい臓器の一つであり、特に急性中毒においては、初期治療が極めて重要である。

急性中毒は少弾で毒性の高いものの誤飲あるいは誤嚥により生じる場合と、通常は毒性のない

ものでも過量に摂取することにより中毒になる場合がある。少量では性の弱い例としてはボタツリヌ又毒素、ふく毒、ヒ素、一酸化炭素(CO)、サリンなどである。過量摂取で頻度が高く問題となるものは睡眠薬・筋弛張薬、エナルアルコールなどである(表1-54)。

表1-54 主な中枢性神経疾患の原因

薬物	睡眠薬・筋弛張薬 依存・覚醒薬、抗精神病薬
アルコール	抗うつ薬、抗てんかん薬、抗がん薬
農業	エフノール、メタノール
食中毒	パラコート・タクティト、有機リン系殺虫剤
重金属	ボタツリヌ毒、ふく毒、毒ガス
重金屬	水銀、金、銀、マンガン、タリウム
有機溶剤	n-ヘキサン、トルエン(シンナー)
ガス	CO、サリン

(2) 病因・病態生理・発生機序

a 薬物中毒

神経系の障害を起こし得る薬物は少なくない。多くの薬物は中枢することにより可逆的であるが、後遺症を残すこともあるので注意が必要である。睡眠薬・筋弛張薬による急性中毒は、自殺目的の大量服用によることが多い。わが国の急性薬物中毒の大半は流動剤のメタノールタミンで、その乱用が女子中高生に拡大し問題となっている。睡眠薬・筋弛張薬、催眠・覚醒薬、抗精神病薬、抗うつ薬、抗てんかん薬、抗がん薬などが原因となる。

b 急性アルコール中毒

アルコールの大量摂取により、中枢神経障害をきたす。摂取されたエタノールの25%は胃から吸収され、残りは上部消化管で吸収される。肝臓ではアルコール脱水蒸留素、アルデヒド脱水蒸留素により代謝される。エタノールは細胞膜脂質のアミノ酸受容体のイオノンチャネルに作用し、細胞内へのカルシウム流入が抑制される。その結果、神経系に対し抑制作用を発揮する。

c 慢性アルコール中毒

慢性アルコール中毒は、アルコール依存症とは同義でアルコールの過剰摂取をやることができる。精神的および肉体的にアルコールに依存している状態である。慢性的アルコール中毒はアルコール自身による毒性あるいは副作用による神経系障害とアルコール離脱に基づく障害に分けられる(表1-55)。

d 眠薬中毒

バラコート・ジタワットは除草薬として使用されていたが、飲用すると毒性が強く、目覚めるのは是非に使用がある。ジタワットはバラコートより低毒性である。ミトコンドリア下伝達系に作用し、細胞膜を傷害する。また解・解・腎臓障害が強く致死的になることが多い。有機リソーム殺虫剤は急性中毒が主体である。アセチルコリュムステラーゼ活性阻害によりコリニン活性が増加となる。

e 食中毒

ボタツリヌ毒は嫌気性グラム陽性桿菌であるボタツリヌス菌が産生する外毒素(A、B、E)である。

表1-55 慢性エタノール中毒による神経系障害

エタノール中毒による神経系障害	代謝異常による障害
1. Wernicke-Korsakoff症候群	エタノール中毒による障害
2. Marchiafava-Bignami症候群	エタノール中毒による障害
3. アルコール性人差違能	エタノール中毒による障害
4. エタノール性小脳萎縮症	エタノール中毒による障害
5. 嘔吐性脳膜炎	エタノール中毒による障害
6. 精神運動性	エタノール中毒による障害
7. アルコール性ミエロバチー	エタノール中毒による障害
8. アルコール性多発ニューロバチー	エタノール中毒による障害
9. アルコール性心筋症	エタノール中毒による障害
10. 頭痛・頭蓋内圧亢進	エタノール中毒による障害
11. 眼球運動障害	エタノール中毒による障害
12. 眼瞼痙攣	エタノール中毒による障害
13. 血栓性脳梗塞	エタノール中毒による障害

る。A型の毒性が強い。わが国では、E型が多く、いすし・辛子れんこんなどにおいて臭味バッタのような強烈な臭氣でボタツリヌス菌が繁殖し毒素を生成する。毒素は神経前接合部の伝導を障害し、毒素摂取後12~24時間で発症する。

ふく中毒は主にふくの卵巣、肝臓に含まれるテトロドキシンと呼ばれる神経毒により、舌や手指のしびれが起り、さらに重症では呼吸筋麻痺により死んでしまうことがある。テトロドキシンはコリン作動性捕縛からアセチルコリニンの遊離阻害を起す。そのためNa⁺チャネルを抑制し心筋・骨骼筋の神経筋活動が遮断される。わが国では約1500種類以上のこのうち、最も多くのが死因は少ないと中高年は年間200~400例みられる、多くは中等度の胃腸炎を起すが、神経毒を有するものもある。

f 重金属中毒

水銀、鉛、ヒ素、マンガン、タリウムなどの中毒により神経系の障害を引き起こす。わが国では有機水銀中毒による水俣病患者が多発発生した。新中海・マンガン中毒は、筑山や猪津・丁馬などで発生してきている。ヒ素中毒は1998年の別府山に落入るカレー事件などで知られており、タリウムは急性中毒が多い。重金屬は神経系に毒性を有し、多様な精神・神経症状を引き起こす。ヒ素は細胞内貯蔵をさまざまな段階で阻害し、その毒性を発揮することが知られている。

g 有機溶剤中毒

有機溶剤で神経系に毒性をもつものは少なくない。代表的なものにn-ヘキサン、トルエンがある。n-ヘキサンは化学工業分野の溶媒、接着剤、洗浄剤などに使用され、木根神経障害が特徴である。トルエンはシンナーの主成分で麻酔作用により中枢神経毒が強くなるのが特徴である。

h ガス中毒

一酸化炭素(CO)は黒色、無臭、非刺激性であり眼霧に気づくことが少ない。燃料の不完全燃焼や自動車の排気ガス、火災などの際に発生する。一般化炭素中毒は中毒による死亡で最も頻度

f 重金属中毒

主な精神・神経症状の特徴を表1-59に示した。それはかの症状としては、局中毒では頭部痛、嘔吐が強く、発作性の激しい頭痛（頭痛前兆）が有名である。セ毒中毒では消化器症状に加えショック、意識障害も呈する。マンガン中毒ではパーキンソンズムと精神症状が特徴である。

g 有機溶剤中毒

急性中毒のときは意識障害、精神症状、認知症、痙攣などをきたす。慢性中毒では末梢神経障害を起こすものが多い。

表1-57 ふぐ中毒の重症度分類（福田）

重症度		臨床症状	
Ⅰ度	口唇、舌、咽頭などのしびれ、嘔吐	四肢の運動障害と軽度の筋肉拘縮	意識、精神状態
Ⅱ度	四肢の運動障害、呼吸困難の現象、貧血不全、末梢神経炎	四肢・骨盆筋の弛緩	意識障害
Ⅲ度	四肢・骨盆筋の弛緩	—	—

表1-58 毒きの乙中毒

きのこ	摂取後発症までの時間	精神神経症状	その他の症状
ツキヨタケ	30分～2時間	舌の運動機能悪くめまい	頭痛、嘔吐、下痢
アセタケ	30分～2時間	運動機能悪化	頭痛、下痢、嘔吐
カヤタケ	—	運動機能悪化	白斑丘疹
テングタケ	30分～2時間	運動機能悪化	頭痛、嘔吐
ベニコシダタケ	30分～2時間	運動機能悪化	頭痛、嘔吐
ワライタケ	30分～1時間	幻覚、幻視、不穏、錯覚	頭痛、嘔吐
シビレタケ	—	—	幻覚
シロシビン	30分～2時間	幻覚、興奮	—
ドクワカ	2～4日	嘔吐	皮膚粘膜にによる

表1-59 重金属による神経系障害

	金属性	精神症状	精神	運動	反射	運動	精神	精神
鉛	+	+	+	+	+	+	+	+
水銀	+	+	+	+	++	++	+	++
亜鉛	—	+	+	+	+	+	+	++
タリウム	+	+	+	+	+	+	+	++
マンガン	+	+	+	+	++	—	—	—

h ガス中毒

CO中毒の臨床所見と血中CO-Hb濃度は相関する（表1-60）。最終的には循環不全、肺水腫、昏睡、構音障害、耳鳴など多臓器障害を起こす。MRIで中毒では輪状回旋部を認めた。

（4）検査と診断

中毒性疾患では原因物質を尿・血液から同定することにより確定診断をつける。また薬物服用や毒物曝露が重要な、中毒性精神疾患で一般的な検査所見を表1-61に示す。

COモニタリーによる血中CO-Hb濃度の測定が可能であるが、時間経過や酸素投与により修正されることに注意する。

表1-60 CO中毒の症状

血中CO-Hb濃度	症状
10%以上	頭痛、めまい
30%	嘔吐、视力障害、意識障害
50%	昏迷、昏迷
70%	呼吸停止、心停止

表1-61 中毒と主な検査所見

中毒	検査所見
急性アルコール中毒	血中アリコール濃度↑
有機リン系殺虫剤中毒	血中コリンエステラーゼ↓
カルシウム中毒	血中カルシウム濃度↑
鉛中毒	尿中全鉛濃度↑
銅中毒	尿中銅アミノレブリン酸の↑
リベキサン精神中毒	尿中リベキサン濃度↑
トルエン精神中毒	尿中トルエン濃度↑
一酸化炭素中毒	血中アントーニスリッジ↑
リチウム	血中リチウム濃度↑

（5）治療

a 急性中毒患者への一般的対応

急性中毒者が疑われた場合は、ほかの救急疾患と同様に、意識状態、呼吸、血圧、脈拍、体温などのバイタルサインのチェックを基準に refl. て、必要な処置を施行し、全身管理が必要かどうかを判断する（図1-19）。原因物質の把握は治療の根本にかかるので、発見時の状況や目撃者や同居人など周囲の人からも情報を得て品物を同定することが重要である。毒物に対する処置などの情報は有りて、電話あるいはファックスで日本中毒情報センターから提供されている。経口投毒の場合、未吸収の毒物を除去するには胃洗浄を行うが、強姦または強アルカリ中毒では30分以上經過していれば胃穿孔の恐れがあるので行わない。意識障害がある場合は誤嚥を防

が高く、自殺が半数以上である。COはヘモグロビン(Hb)に対する親和性が色素の200倍以上であり、カルボキシヘモグロビン(CO-Hb)が生成され、酸素運搬能力がいちじるしく低下するため、中枢神経や心臓などが傷害される。空気中のCO濃度は0.01%であるが、吸込濃度が1%以上になると即死する。CO中毒では血液は鮮紅色を示す。

サリンは4人の開発研究者の名をとつてSARINと名づけられた有機リノ系神經毒で、化学兵器としてトイツで開発された。わが国では松本サリン事件、地下鉄サリン事件で使用され多数の犠牲者がいた。無味、無臭の液体で揮発性が高く、皮膚・気道粘膜から吸収される。体内でコリンエスチラーゼに結合しその作用を阻害する。その結果、アセチルコリノが過剰になる。

(3) 症状

a 薬物中毒

急性中毒では意識障害、痙攣などを起こすことが多い。慢性中毒では認知症、パーキンソンズム、不随意運動、小脳失調、視神經障害、脊髄障害、末梢神經障害などが知られている。麻薬・覚醒剤では意識障害による抑制状態と高度の興奮状態がある。

b 急性アルコール中毒

体内濃度は血中濃度とはほぼ同じで、血中濃度と中毒症状が相関する。高濃度では生命的の危険がある。エタノールには抗利尿ホルモン制作用、末梢血管拡張作用、発汗作用があり、脱水や低体温になりやすい(表1-56)。

表1-56 血中エタノール濃度と症状

血中エタノール	症状
濃度 (mg/dl)	
5～25	認知障害、記憶障害、多幸感、欣快感
25～50	筋肉拘縮、運動不全、利口の迷惑
50～100	嗜睡、歩行変化
100～150	昏迷、嘔吐、うつ状態、興奮、攻撃性、視覚、聽覚障害
150～250	昏迷、意識不明、呼吸、心拍出量、低血圧、散瞳
約300	昏迷
約400～500	昏睡、呼吸困難、死亡

c 慢性アルコール中毒

1 Wernicke-Korsakoff症候群
Wernicke病は意識障害、眼振、眼球運動障害、多幸感、欣快感によるもので、Wernicke病の発病は、嗜酒習慣によるものである。初期の病期は、精神障害、運動機能の低下、視野狭窄、眼球運動の延長、精神の混乱、行動変化などである。

2 アルコール性大脳・小脳萎縮
知能低下、程度の認知症を示し、大脳の萎縮、脳室の拡大を認める。発達段階は十分わかっていない。小脳前葉に認めた萎縮の特徴で、失調歩行を示す。四肢失調や構音障害をときにもうなが地歩は筋である。

3 アルコール性ミエロハイド

維体路病変を主体とするガビタミンB₁₂欠乏はない。

4 アルコール性多発ニューロハマー

多発梗塞の感覺運動を発ニューロハマーをきたす。

5 アルコール性ミオハマー

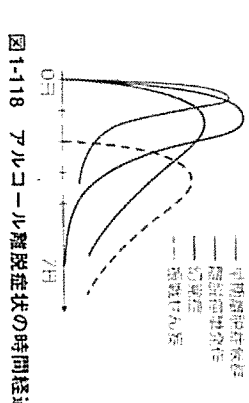
長期の貧困で過度節儉の姿勢・毅力で下肢に強い。アルコールの大用量摂取時に骨軟骨炎矯正あるいは低カリウム性ミオハマーとして発症することがある。

6 アルコール性脳膜炎候群(図1-18)

ア 早期脳膜炎候群：断酒後5～6時間後に生じ、1～2日にピークとなる。交感神経の興奮状態により頭痛、血圧上昇、貧血低下、嘔気、嘔吐、易制激性、不眠、搔登、妄想、散瞳、視覚・聴覚性の錯覚、幻覚が生じる。症状はエタノール投与で消失する。治療としてはシアゼバムやアテノロールなどの安眠神経筋弛緩薬を使用する。

イ 遅発性：断酒後3日以内に起こる全身性神経間代性疾患である。1日に1～2回起り、約2%が重積を起こす。抗精神病薬とともにWernicke脳病のためチアミン100mgの静注、補液・電解質補正を行う。

ウ 持続性妄想(後期離脱症候群)：断酒後5日以内に発症する。症状は早期脳膜炎候群と同じであるがより重篤である。3日以内に80%以上が治まる。治療も早期脳膜炎候群と同じであるが、十分な補液も必要である。現在でも死亡率が5%あるといわれている。



d 農薬中毒

バラコート・ジタワットが原因の場合、初期には口腫、眼瞼、直達、胃のびらん、潰瘍、疼痛、嘔吐障害、嘔吐をきたす。此物は青緑色を呈るのが特徴である。精神症状として手足のしびれ、痙攣、意識障害をきたし、ショックに陥る。有機リノ系殺虫剤では下痢、流涎、嘔吐、久立効果物増加、呼吸困難などが出現する。重篤な場合、意識障害、全身痙攣、呼吸筋麻痺がみられる。

e 食中毒

ボツリヌス中毒の初期症状は嘔吐、下痢・腹痛などの食中毒症状で、その後、眼瞼下垂、外眼筋痙攣など筋筋弛緩症のような症状が出現し、急速に構音・誤嚥障害、呼吸筋麻痺、全身の弛緩、散筋、対光反射消失を示す。ふぐの中の初金魚は口唇、舌、指先のしびれや充血、異常興奮である。食後から初発症状までの時間が短いほど重篤で、30～40分以内のときは即時以上の重篤に進展することが多い(表1-57)。毒きのこ中毒の主な症状を表1-58に示した。

Underediting of GluR2 mRNA, a neuronal death inducing molecular change in sporadic ALS, does not occur in motor neurons in ALS1 or SBMA

Yukio Kawahara^{a,1}, Hui Sun^a, Kyoko Ito^a, Takuto Hideyama^a,
Masashi Aoki^b, Gen Sobue^c, Shoji Tsuji^a, Shin Kwak^{a,*}

^a Department of Neurology, Graduate School of Medicine, The University of Tokyo,
7-3-1 Hongo, Bunkyo-ku, Tokyo 113-8655, Japan

^b Department of Neurology, Tohoku University Graduate School of Medicine, Sendai, Japan

^c Department of Neurology, Nagoya University Graduate School of Medicine, Nagoya, Japan

Received 7 July 2005; accepted 13 September 2005

Available online 12 October 2005

Abstract

Deficient RNA editing of the AMPA receptor subunit GluR2 at the Q/R site is a primary cause of neuronal death and recently has been reported to be a tightly linked etiological cause of motor neuron death in sporadic amyotrophic lateral sclerosis (ALS). We quantified the RNA editing efficiency of the GluR2 Q/R site in single motor neurons of rats transgenic for mutant human Cu/Zn-superoxide dismutase (SOD1) as well as patients with spinal and bulbar muscular atrophy (SBMA), and found that GluR2 mRNA was completely edited in all the motor neurons examined. It seems likely that the death cascade is different among the dying motor neurons in sporadic ALS, familial ALS with mutant SOD1 and SBMA. © 2005 Elsevier Ireland Ltd and the Japan Neuroscience Society. All rights reserved.

Keywords: ALS; SOD1; Spinal and bulbar muscular atrophy; Motor neuron; RNA editing; GluR2; AMPA receptor; Neuronal death

1. Introduction

Amyotrophic lateral sclerosis (ALS) is a progressive neurodegenerative disease with selective loss of both upper and lower motor neurons, and familial cases are rare. The etiology of sporadic ALS remains elusive but recently deficient RNA editing of AMPA receptor subunit GluR2 at the Q/R site is reported in motor neurons in ALS that occurs in a disease-specific and motor neuron-selective manner (Kawahara et al., 2004; Kwak and Kawahara, 2005). Moreover, underediting of the GluR2 Q/R site greatly increases the Ca^{2+} permeability of AMPA receptors (Hume et al., 1991; Verdoorn et al., 1991; Burnashev et al., 1992), which may cause neuronal death due to increased Ca^{2+} influx through the receptor channel, hence mice with RNA editing deficiencies at the GluR2 Q/R site die young (Brusa et al., 1995) and mice transgenic for an artificial Ca^{2+} -

permeable GluR2 develop motor neuron disease 12 months after birth (Kuner et al., 2005). Such evidence lends strong support to the close relevance of deficient RNA editing of the GluR2 at the Q/R site to death of motor neurons in sporadic ALS. However, although we and other researchers have demonstrated that dying neurons in several neurodegenerative diseases exhibit edited GluR2 (Kwak and Kawahara, 2005), it has not yet been demonstrated whether the underediting of GluR2 occurs in dying motor neurons in motor neuron diseases other than ALS. Such investigation is of particular importance since it will help clarify whether the molecular mechanism of motor neurons death is common among various subtypes of motor neurons.

ALS associated with the SOD1 mutation (ALS1) is the most frequent familial ALS (Rosen et al., 1993), and mutated human SOD1 transgenic animals have been studied extensively as a disease model of ALS1, yet the etiology of neuronal death in the animals has not been elucidated. Another example of non-ALS motor neuron disease is spinal and bulbar muscular atrophy (SBMA), which predominantly affects lower motor neurons with a relatively slow clinical course. Since the CAG

* Corresponding author. Tel.: +81 3 5800 8672; fax: +81 3 5800 6548.

E-mail address: kwak-ty@umin.ac.jp (S. Kwak).

¹ Present address: The Wistar Institute, Philadelphia, PA, USA.

Table 1

RNA editing efficiency of single motor neurons in SBMA

Case	Age at death (year)	Sex	No. of CAG repeats ^a	Postmortem delay (h)	GluR2(+) MN ^b	MN with 100% editing efficiency (% of GluR2(+) MN)
SBMA, case 1	71	M	48	2.5	12	12 (100)
SBMA, case 2	78	M	42	2.5	16	16 (100)
SBMA, case 3	60	M	44	1	16	16 (100)

^a Number of CAG repeats in the androgen receptor gene.^b Motor neurons in which GluR2 RT-PCR amplifying product was detected.

repeat expansion in the androgen receptor gene has been demonstrated in SBMA (La Spada et al., 1991), and pharmacological castration is therapeutically effective in animal models (Katsuno et al., 2002, 2003), the death cascade responsible for SBMA is likely different from sporadic ALS. In this paper, an investigation is carried out into whether or not the dying mechanism underlying sporadic ALS is the same as ALS1 and SBMA by determining the editing status of the GluR2 Q/R site in single motor neurons.

2. Materials and methods

The animals used in this study were SOD1^{G93A} and SOD1^{H46R} transgenic male rats (Nagai et al., 2001) ($n = 3$ each) that had exhibited progressive neuromuscular weakness with their littermates as the control ($n = 3$ each) (Table 2). The first sign of disease in these rats was weakness of their hindlimbs, mostly exhibited by the dragging of one limb. Onset of motor neuron disease was scored as the first observation of abnormal gait or evidence of limb weakness. The mean age of onset of clinical weakness for the SOD1^{G93A} and SOD1^{H46R} lines was 122.9 ± 14.1 and 144.7 ± 6.4 days, respectively. As the disease progressed, the rats exhibited marked muscle wasting in their hindlimbs, and then in the forelimbs. The mean duration after the clinical expression of the disease in the SOD1^{G93A} and SOD1^{H46R} lines was 8.3 ± 0.7 and 24.2 ± 2.9 days, respectively (Nagai et al., 2001). The rats were killed 3 days and 2 weeks after the onset for the SOD1^{G93A} and SOD1^{H46R} lines, respectively, and we examined their fifth lumbar cord. Animals were handled according to Institutional Animal Care and Use Committee approved protocols that are in line with the Guideline for Animal Care and Use by the National Institute of Health. Spinal cords were isolated after deep pentobarbiturate anesthesia. In addition, spinal cords were obtained at autopsy from three genetically confirmed patients with SBMA (Table 1). Written informed consent was obtained from all subjects prior to death or from their relatives, and the Ethics Committees of Graduate School of Medicine, the University of Nagoya and the University of Tokyo approved the experimental procedures used. Spinal cords were rapidly frozen on dry ice and maintained at -80°C until use.

Table 2

RNA editing efficiency of single motor neurons in mutated human SOD1 transgenic rats

Case (n)	GluR2(+) MN ^a	MN with 100% editing efficiency (% of GluR2(+) MN)
SOD1 ^{G93A} -1	13	13 (100)
SOD1 ^{G93A} -2	21	21 (100)
SOD1 ^{G93A} -3	21	21 (100)
SOD1 ^{H46R} -1	19	19 (100)
SOD1 ^{H46R} -2	23	23 (100)
SOD1 ^{H46R} -3	20	20 (100)
SOD1 ^{G93A} , littermates (3)	22	22 (100)
SOD1 ^{H46R} , littermates (3)	20	20 (100)

^a Motor neurons in which GluR2 RT-PCR amplifying product was detected.

Single motor neurons were isolated and collected into respective single test tubes that contained 200 μl of TRIZOL Reagent (Invitrogen Corp., Carlsbad, CA, USA) using a laser microdissection system as previously described (Kawahara et al., 2003b, 2004) (LMD, Leica Microsystems Ltd., Germany) (Fig. 1a). After extracting total RNA from single neuron tissue, we analyzed the RNA editing efficiency at the GluR2 Q/R site by means of RT-PCR coupled with digestion of the PCR amplified products with a restriction enzyme *Bbv*-1 (New England BioLabs, Beverly, MA, USA) (Takuma et al., 1999; Kawahara et al., 2003a, 2004), and the editing efficiency was calculated by quantitatively analyzing the digests with a 2100 Bioanalyser (Agilent Technologies, Palo Alto, CA, USA), as previously described (Kawahara et al., 2003a). Briefly, after gel purification using Zymoclean Gel DNA Recovery Kit according to the manufacturer's protocol (Zymo Research, Orange, CA, USA), PCR products were quantified using a 2100 Bioanalyser. An aliquot (0.5 μg) was then incubated at 37°C for 12 h with $10 \times$ restriction buffer and 2 U of *Bbv*-1 in a total volume of 20 μl and inactivated at 65°C for 30 min. The PCR products had one intrinsic *Bbv*-1 recognition sites, whereas the products originating from unedited GluR2 mRNA had an additional recognition site. Thus, restriction digestion of the PCR products originating from edited rat (278 bp) and human (182 bp) GluR2 mRNA should produce two bands (human GluR2 in parenthesis) at 219 (116) and 59 (66) bp, whereas those originating from unedited GluR2 mRNA should produce three bands at 140 (81), 79 (35), and 59 (66) bp. As the 59 (66) bp band would originate from both edited and unedited mRNA, but the 219 (116) bp band would originate from only edited mRNA, we quantified the molarity of the 219 (116) and 59 (66) bp bands using the 2100 Bioanalyser and calculated the editing efficiency as the ratio of the former to the latter for each sample.

The following primers were used for PCR for rat and human GluR2 (amplified product lengths are also indicated): for rat GluR2 (278 bp): rF (5'-AGCAGATTAGCCCCCTACGAG-3') and rR (5'-CAGCACTTTCGAT-GGGAGACAC-3'). for human GluR2, the first PCR (187 bp): hG2F1 (5'-TCTGGTTTCCTGGGTGCC-3') and hG2R1 (5'-AGATCCTCAGCACT-TTCG-3'); for the nested PCR (182 bp): hG2F2 (5'-GGTTTCCCTTGGTGCCTTAT-3') and hG2R2 (5'-ATCCTCAGCACTTCGATGG-3'). We confirmed that these primer pairs were situated in two distinct exons with an intron between them and did not amplify products originating from other GluR subunits (data not shown). PCR amplification for rat GluR2 was initiated with a denaturation step that was carried out at 95°C for 2 min, followed by 40 cycles of 95°C for 30 s, 62°C for 30 s, and 72°C for 1 min. PCR amplification for human GluR2 began with a 1 min denaturation step at 95°C , followed by 35 cycles of denaturation at 95°C for 10 s, annealing at 64°C for 30 s and extension at 68°C for 60 s. Nested PCR was conducted on 2 μl of the first PCR product under the same conditions with the exception of the annealing temperature (66°C).

3. Results

The number of motor neurons was severely decreased in the spinal cord of SBMA patients, and we analyzed 44 neurons dissected from three cases (12 from case 1, 16 from cases 2 and 3). Restriction digestion of the PCR products yielded only 116 and 66 bp fragments but no 81 or 35 bp fragments as seen in ALS motor neurons in all the SBMA motor neurons examined. Likewise, restriction digestion of the PCR products from motor